

آنالیز تحلیلی هارمونیک‌های خروجی اینورترهای چندسطحی در حالت کلیدزنی نامتقارن

سیما شاه‌محمدی^۱، دانشجوی دکتری؛ سیدحسین حسینی^۱، استاد؛ ابراهیم بابایی^۱، استاد؛ مهران صباغی^۱، دانشیار؛ جابر فلاح^۱، دانشجوی دکتری

- ۱- دانشکده مهندسی برق و کامپیوتر - دانشگاه تبریز - تبریز - ایران -
 {shahmohamadi, hosseini, e-babaei, sabahi, j.fallah}@tabrizu.ac.ir

چکیده: در کاربردهای عملی، اینورترها ممکن است دارای کلیدزنی نامتقارن باشند. به عنوان مثال کلیدهای نیمه‌هادی یک مبدل ممکن است دقیقاً یکسان نباشند یا در مدار کنترل اینورتر نامتقارن وجود داشته باشد که منجر به عدم تقارن در کلیدزنی مبدل گردد. این عدم تقارن باعث به وجود آمدن هارمونیک‌های اضافی در ولتاژ خروجی مبدل می‌گردد. این هارمونیک‌های اضافی عمولاً در طراحی مدار در نظر گرفته نمی‌شوند بنابراین می‌توانند باعث مشکلات فراوانی گردند. برای بررسی دقیق هارمونیک‌های ایجادشده در این مقاله مدل جدیدی برای اینورتر مبتنی بر مدل switching function ارائه شده است. با استفاده از این مدل روابط تحلیلی هارمونیک‌ها برای کلیدزنی نامتقارن محاسبه گردیده است. این روابط تحلیلی می‌توانند برای بهینه‌سازی و یا حذف هارمونیک‌های نامطلوب به کار رود. صحت نتایج تحلیلی با استفاده از نتایج شبیه‌سازی بررسی شده است. همچنین یک نمونه عملی ساخته شده است تا نتایج محاسبات تحلیلی مورد بررسی قرار گیرد.

واژه‌های کلیدی: اینورترهای چندسطحی، هارمونیک‌های ولتاژ، زوایای کلیدزنی نامتقارن، روابط تحلیلی، مدل‌سازی.

Analytical Harmonic Analysis of Multilevel Inverters with Unbalanced Switching

Sima Shahmohamadi¹, PhD Student; Seyyed Hossein Hosseini¹, Professor; Ebrahim Babaei¹, Professor; Mehran Sabahi¹, Associate Professor; Jaber Fallah¹, PhD Student

1- Faculty of Electrical and Computer Engineering, University of Tabriz, Tabriz, Iran,
 Emails: {shahmohamadi, hosseini, e-babaei, sabahi, j.fallah}@tabrizu.ac.ir

Abstract: In practical applications of inverters, unbalanced conditions may be occurred. For instance, semiconductor switches of a converter may not be exactly the same or switching circuit may be unbalanced. This unbalance leads to additional harmonics in the output of converter. The additional harmonics usually are not considered in the design of circuit, so cause many problems. For precise investigation of these harmonics, a new model of inverter based on switching functions is presented. With this model, analytical equations of harmonics in unbalanced switching are calculated. These analytical equations can be used for designing process such as investigation of optimal cases or elimination of undesired harmonics. The accuracy of the analytical calculations is verified by simulation results. As well, an experimental prototype is constructed to verify analytical results.

Keywords: Multilevel inverters, Voltage harmonics, Unbalanced switching angles, Analytical relations, Modeling.

تاریخ ارسال مقاله: ۱۳۹۳/۰۸/۰۳

تاریخ اصلاح مقاله: ۱۳۹۳/۱۰/۲۱

تاریخ پذیرش مقاله: ۱۳۹۳/۱۱/۰۹

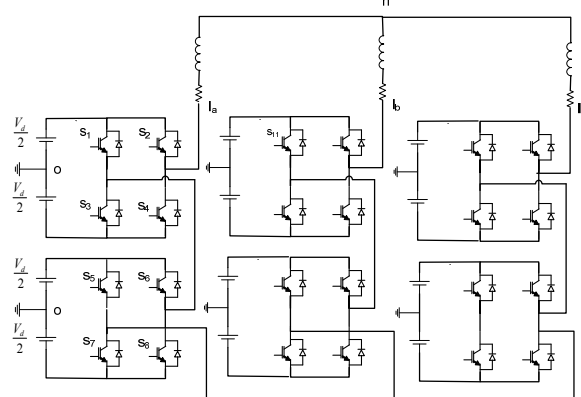
نام نویسنده مسئول: سیما شاه‌محمدی

نشانی نویسنده مسئول: ایران - تبریز - بلوار ۲۹ بهمن - دانشگاه تبریز - دانشکده مهندسی برق و کامپیوتر.

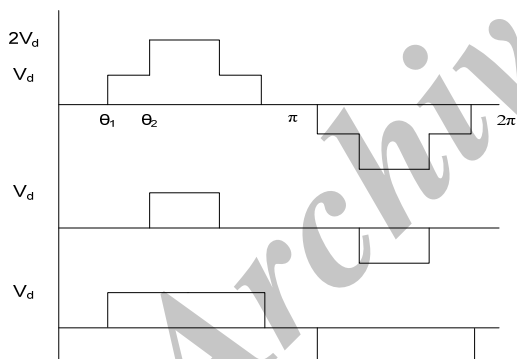
۱- مقدمه

۲- مدل پیشنهادی مبدل برای آنالیز عدم تقارن در کلیدزنی

برای بررسی عدم تقارن در کلیدزنی اینورتر چندسطحی زنجیره‌ای (cascade) در نظر گرفته شده است. ساختار زنجیره‌ای یکی از ساختارهای مهم اینورترهای چندسطحی است. مدار آن ساده و مدولار بوده و کمترین تعداد قطعات را در مقایسه با ساختارهای مشهور diode گردیده‌اند؛ اما در هیچ‌یک از این مراجع آنالیز هارمونیکی صورت نگرفته است. تنظیم منابع DC در مرجع [۵] منجر به کاهش THD می‌گردد. در این مقاله از روش حذف انتخابی هارمونیک‌ها استفاده شده است و روش PWM بررسی نگردیده است. ازانجایی که در روش حذف انتخابی هارمونیک‌ها زوایای آتش محاسبه می‌گردد، درنتیجه محاسبه هارمونیک‌ها در این روش نسبت به روش PWM ساده‌تر است. روش charge balance control برای اینورتر زنجیره‌ای نامتقارن در مرجع [۶] بررسی گردیده است اما در این مقاله نیز بحث هارمونیکی صورت نگرفته است. در مراجع [۷، ۸] ساختارهای جدیدی برای اینورترها در شرایط نامتقارن ارائه شده است. طیف هارمونیکی ولتاژ خروجی این اینورترها با استفاده از شبیه‌سازی به دست آمده است و هیچ تحلیلی ریاضی صورت نگرفته است. در مرجع [۹] نیز روابط کلی برای حذف انتخابی هارمونیک‌ها در حالت متقارن و نامتقارن ارائه شده؛ البته روابط این هارمونیک‌های خروجی نسبت به روش PWM بسیار ساده‌تر است.



شکل ۱: ساختار اینورتر زنجیره‌ای پنج‌سطحی



شکل ۲: ولتاژ خروجی اینورتر زنجیره‌ای پنج‌سطحی

در ابتدا تابع تبدیل اینورتر چندسطحی به دست آورده می‌شود. تابع تبدیل، متغیرهای خروجی را بر حسب متغیرهای ورودی بیان می‌کند. ولتاژ خروجی و جریان ورودی اینورتر به صورت رابطه‌های (۱) و (۲) بیان می‌گردد.

$$[V_{ab} \ V_{bc} \ V_{ca}] = TV_d \quad (1)$$

$$I_{in} = T [I_a \ I_b \ I_c] \quad (2)$$

که در این روابط T تابع تبدیل اینورتر است، V_{ab} ، V_{bc} و V_{ca} ولتاژهای خروجی و I_{in} جریان ورودی و V_d ولتاژ ورودی و I_a ، I_b و I_c جریان‌های خروجی می‌باشد [۱۴، ۱۵]. روش‌های مدولاسیون زیادی برای اینورترهای چندسطحی ارائه شده است. در این میان روش Phase

اینورترها امروزه در کاربردهای مختلفی مانند درایوها، تولید پراکنده و غیره به کار می‌روند. عملکرد این مبدل‌ها عموماً در حالت متقارن در نظر گرفته می‌شود [۱، ۲]، اما حالت‌های نامتقارن زیادی در عملکرد اینورتر ممکن است اتفاق بیفتد. اینورترها در مرجع [۳] تحت شرایط بار نامتقارن بررسی شده‌اند و در مرجع [۴] برای منابع DC نامتعادل بررسی گردیده‌اند؛ اما در هیچ‌یک از این مراجع آنالیز هارمونیکی صورت نگرفته است. تنظیم منابع DC در مرجع [۵] منجر به کاهش THD می‌گردد.

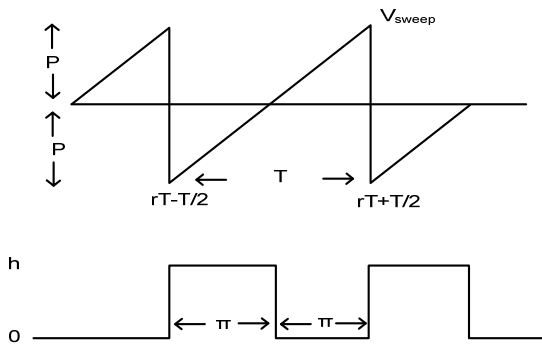
در این مقاله از روش حذف انتخابی هارمونیک‌ها استفاده شده است و روش PWM بررسی نگردیده است. ازانجایی که در روش حذف انتخابی هارمونیک‌ها زوایای آتش محاسبه می‌گردد، درنتیجه محاسبه هارمونیک‌ها در این روش نسبت به روش PWM ساده‌تر است. روش charge balance control برای اینورتر زنجیره‌ای نامتقارن در مرجع [۶] گردیده است اما در این مقاله نیز بحث هارمونیکی صورت نگرفته است. در مراجع [۷، ۸] ساختارهای جدیدی برای اینورترها در شرایط نامتقارن ارائه شده است. طیف هارمونیکی ولتاژ خروجی این اینورترها با استفاده از شبیه‌سازی به دست آمده است و هیچ تحلیلی ریاضی صورت نگرفته است. در مرجع [۹] نیز روابط کلی برای حذف انتخابی هارمونیک‌ها در حالت متقارن و نامتقارن ارائه شده؛ البته روابط این هارمونیک‌های خروجی نسبت به روش PWM در مرجع [۱۰] به دست آمده است؛ اما این روابط تنها برای حالت متقارن صادق بوده و در حالت عدم تقارن بررسی نگردیده است. مثلاً عدم تقارن در کلیدزنی اینورتر می‌تواند باعث تولید هارمونیک‌های اضافی گردد و این هارمونیک‌های اضافی می‌تواند باعث مشکلاتی مانند تلفات اضافی و عملکرد نادرست رله‌ها گردد. اینورترهای چندسطحی به علت توانایی عملکرد در ولتاژ و توان‌های بالا و هارمونیک‌های خروجی پایین در سال‌های اخیر مورد توجه زیادی بوده‌اند. اینورترهای چندسطحی دارای ساختارهای متنوعی می‌باشند [۱۱] و روش‌های مدولاسیون مختلفی برای آن‌ها ارائه شده است [۱۲، ۱۳]. به علت پیچیدگی بودن روش‌های مدولاسیون آن‌ها اکثر تحقیقات بر روی هارمونیک‌های خروجی ولتاژ با شبیه‌سازی بوده و روابط تحلیلی بخصوص در حالت کلیدزنی نامتعادل ارائه نشده است.

در این مقاله روشی برای محاسبه هارمونیک‌های تولیدشده در حالت کلیدزنی نامتقارن ارائه شده است. برای محاسبه این هارمونیک‌ها ابتدا اینورتر مدل شده است. مدل پیشنهادی بر پایه مدل switching function قرار دارد که دارای مزایای زیر است:

- مدل‌سازی دقیق هارمونیک‌ها
- کاهش زمان شبیه‌سازی
- توانایی توسعه مدل

روابط تحلیلی به دست آمده می‌تواند برای اهداف بهینه‌سازی یا حذف هارمونیک‌های موردنظر بدون درگیری با مشکلات شبیه‌سازی به کار رود. صحت روابط تحلیلی به دست آمده توسط نتایج شبیه‌سازی تأیید گردیده است. همچنین یک نمونه عملی برای تأیید صحت نتایج ساخته شده است.

برای این منظورتابع تبدیل جدیدی تعریف می‌گردد که شامل تأثیر تغییرات زاویه آتش است [۱۶]. در شکل ۳ خط‌چین نشان‌دهنده تابع تبدیل پایه و خط پر نشان‌دهنده تابع تبدیل با تغییر زاویه‌ای بهاندازه $\Delta\alpha$ است. تفاوت این دو شکل در شکل ۳b نشان داده شده است. باید توجه گردد که $\Delta\alpha$ متغیر است. با محاسبه سری فوریه شکل ۳b و اضافه کردن آن بر روی سری فوریه شکل موج مدوله‌نشده، بسط فوریه تابع تبدیل مدوله‌شده قابل محاسبه است. برای محاسبه بسط فوریه شکل ۳b مفهوم مدولاسیون عرض پالس ارائه شده توسط شوارتز مورد استفاده قرار گرفته است. در این بررسی مدولاسیون عرض پالس از مقایسه موج مرجع با موج دندانه‌ارهای مطابق شکل ۴ به دست می‌آید.



شکل ۴: تولید سیگنال مدولاسیون عرض پالس

فرم کلی بسط فوریه به صورت زیر خواهد بود:

$$F(\omega t) = \sum_{k=-\infty}^{\infty} c_k e^{jk\omega t} \quad (16)$$

متغیر c_k دامنه هارمونیک $k\omega$ بوده و به صورت زیر محاسبه می‌گردد:

$$c_k = a_k + jb_k = \frac{1}{T} \int_{-\frac{T}{2}}^{\frac{T}{2}} F(t) e^{-jk\omega t} dt, -\infty < k < \infty \quad (17)$$

برای روش مدولاسیون PWM حل این انتگرال بسیار مشکل است [۱۷]. روش مناسب استفاده از انتگرال فوریه دوبل به صورت زیر است [۱۸، ۱۳]:

$$F(x, y) = \sum_{m=-\infty}^{\infty} \sum_{n=-\infty}^{\infty} c_{mn} e^{j(mx+ny)} \quad (18)$$

$$c_{mn} = \frac{1}{4\pi^2} \int_{-\pi}^{\pi} \int_{-\pi}^{\pi} F(x, y) e^{-j(mx+ny)} dx dy \quad (19)$$

در تحلیل شوارتز مدولاسیون عرض پالس با مقایسه سیگنال مرجع با موج دندانه‌ارهای ولتاژ حاصل می‌شود. اگر موج مرجع به صورت $Q\cos qt$ در نظر گرفته شود، طیف فرکانسی شکل موج حاصل به صورت زیر خواهد بود [۱۶] و [۱۹]:

shifted PWM در حقیقت توسعه روش PWM مرسوم است. S_A و S_B توابع کلیدزنی سلول اول و دوم اینورتر پنج‌سطحی زنجیره‌ای می‌باشند که با مقایسه موج مرجع و موج حاصل به دست می‌آیند. S_{Aa} و S_{Bb} توابع کلیدزنی فاز a می‌باشند. این توابع کلیدزنی می‌توانند به صورت زیر با سری فوریه بیان گردند:

$$S_{Aa} = \frac{V_d}{2} \sum_{n=1}^{\infty} A_n \sin(n\omega t) \quad (3)$$

$$S_{Ab} = \frac{V_d}{2} \sum_{n=1}^{\infty} A_n \sin(n\omega t - 120^\circ) \quad (4)$$

$$S_{Ac} = \frac{V_d}{2} \sum_{n=1}^{\infty} A_n \sin(n\omega t - 240^\circ) \quad (5)$$

بنابراین V_{ao} , V_{bo} و V_{co} به صورت زیر به دست می‌آیند:

$$V_{ao} = \frac{V_d}{2} (S_{Aa} + S_{Bb}) \quad (6)$$

$$V_{bo} = \frac{V_d}{2} (S_{Ab} + S_{Bb}) \quad (7)$$

$$V_{co} = \frac{V_d}{2} (S_{Ac} + S_{Bc}) \quad (8)$$

در این حالت ولتاژهای خط به خط به صورت زیر خواهد بود:

$$V_{ab} = V_{ao} - V_{bo} \quad (9)$$

$$V_{bc} = V_{bo} - V_{co} \quad (10)$$

$$V_{ca} = V_{co} - V_{ao} \quad (11)$$

و ولتاژهای فاز به صورت زیر خواهد بود:

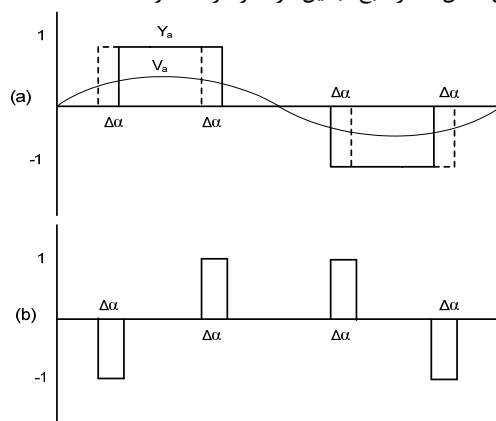
$$V_{no} = \frac{1}{3} (V_{ao} + V_{bo} + V_{co}) \quad (12)$$

$$V_{an} = V_{ao} - V_{no} \quad (13)$$

$$V_{bn} = V_{bo} - V_{no} \quad (14)$$

$$V_{cn} = V_{co} - V_{no} \quad (15)$$

در روش مدولاسیون PWM عرض پالس‌ها متغیر است بنابراین دامنه هارمونیک‌ها به سادگی قابل محاسبه نیست. برای نشان دادن تأثیر مدولاسیون بر روی هارمونیک‌های ولتاژ خروجی تغییرات زاویه آتش می‌باشد مطابق شکل ۳ در تابع تبدیل ۳ در نظر گرفته شود.



شکل ۳: تغییرات زاویه آتش اینورتر

متغیر α_1 زاویه آتش سلول اول از اینورتر است. با جایگذاری این روابط در رابطه (۲۳) و ساده‌سازی خواهیم داشت:

$$\begin{aligned} F_1(t) = & \frac{1}{\pi} \sum_{m=1}^{\infty} \left[-\frac{J_0(mb)}{m} \sin\left(m \frac{\pi}{2}\right) \cos\left(m \omega_0 t - \frac{\pi}{\alpha_0}\right) \right. \\ & - \frac{1}{\pi} \sum_{m=1}^{\infty} \sum_{n=1}^{\infty} \frac{J_n(mb)}{m} \cos\left(nk \omega_0 t + n\delta_k\right) \\ & \left. \left[\sin\left(m \omega_0 t - \frac{\alpha_1}{\omega_0}\right) - \frac{n\pi}{2} \right] \right. \\ & + \sin\left(m \omega_0 t - \frac{\pi - \alpha_1}{\omega_0}\right) - \frac{n\pi}{2} \\ & - \sin\left(m \omega_0 t - \frac{\pi + \alpha_1}{\omega_0}\right) - \frac{n\pi}{2} \\ & \left. - \sin\left(m \omega_0 t - \frac{2\pi - \alpha_1}{\omega_0}\right) - \frac{n\pi}{2} \right] \end{aligned} \quad (۲۶)$$

از آنجایی که ولتاژ خروجی اینورتر پنج‌سطحی مطابق شکل ۲ از حاصل جمع دو شکل موج تشکیل شده است، برای قسمت اول طیف هارمونیکی از رابطه (۲۷) به دست می‌آید.

$$F_{M1}(t) = F_1(t) + F_s(t) \quad (۲۷)$$

برای قسمت دوم شکل موج $F_2(t)$ تعریف می‌گردد. برای محاسبه $F_2(t)$ روابط (۲۸) و (۲۹) به صورت زیر در رابطه (۲۳) جایگذاری می‌گردد:

$$h_1 = +1, h_2 = +1, h_3 = -1, h_4 = -1 \quad (۲۸)$$

$$T_1 = \frac{\alpha_2}{\omega_0}, T_2 = \frac{\pi - \alpha_2}{\omega_0}, T_3 = \frac{\pi + \alpha_2}{\omega_0}, T_4 = \frac{2\pi - \alpha_2}{\omega_0} \quad (۲۹)$$

با جمع $F_2(t)$ با بسط فوریه شکل موج مدوله‌نشده، $F_{M2}(t)$ به دست می‌آید. بسط فوریه ولتاژ خروجی اینورتر با ولتاژ ورودی V_{dc} به صورت زیر به دست می‌آید:

$$\begin{aligned} F_a(t) = & F_{M1}(t) + F_{M2}(t) = \\ & V_{dc} \left(\frac{2}{\pi} \sum_{m=1}^{\infty} ((-1)^m - 1) \frac{\sin(m \omega_0 t)}{m} + \right. \\ & \left. \frac{2}{\pi} \sum_{m=1}^{\infty} \left[-\frac{J_0(mb)}{m} \sin\left(m \frac{\pi}{2}\right) \cos\left(m \omega_0 t - \frac{\pi}{\alpha_0}\right) \right. \right. \\ & \left. \left. - \frac{2}{\pi} \sum_{m=1}^{\infty} \sum_{n=1}^{\infty} \frac{J_n(mb)}{m} \cos\left(nk \omega_0 t + n\delta_k\right) \right. \right. \\ & \left. \left. \left[\sin\left(m \omega_0 t - \frac{\alpha_1 + \alpha_2}{2\omega_0}\right) - \frac{n\pi}{2} \right] \cos\left(\frac{m(\alpha_2 - \alpha_1)}{2}\right) \right. \right. \\ & \left. \left. + \sin\left(m \omega_0 t - \frac{2\pi - \alpha_1 - \alpha_2}{2\omega_0}\right) - \frac{n\pi}{2} \right] \cos\left(\frac{m(\alpha_1 - \alpha_2)}{2}\right) \right. \\ & \left. - \sin\left(m \omega_0 t - \frac{2\pi + \alpha_1 + \alpha_2}{2\omega_0}\right) - \frac{n\pi}{2} \right] \cos\left(\frac{m(\alpha_2 - \alpha_1)}{2}\right) \\ & \left. - \sin\left(m \omega_0 t - \frac{4\pi - \alpha_1 - \alpha_2}{2\omega_0}\right) - \frac{n\pi}{2} \right] \cos\left(\frac{m(\alpha_1 - \alpha_2)}{2}\right) \end{aligned} \quad (۳۰)$$

تا این قسمت از بحث حالت متقارن در نظر گرفته شده است. حال به بررسی حالت‌های نامتقارن پرداخته می‌شود.

$$\begin{aligned} F_1(t) = & \frac{h}{2} - \frac{hQ}{2p} \cos qt \\ & + \frac{h}{\pi} \sum_{m=1}^{\infty} [(-1)^m - J_0\left(\frac{m\pi Q}{P}\right)] \frac{\sin(mpt)}{m} \\ & - \frac{h}{\pi} \sum_{m=1}^{\infty} \sum_{n=1}^{\infty} \frac{J_n\left(\frac{m\pi Q}{P}\right)}{m} [\sin(mpt + nqt + \frac{n\pi}{2}) \\ & + \sin(mpt - nqt + \frac{n\pi}{2})] \end{aligned} \quad (۲۰)$$

که در این رابطه p فرکانس موج دندانه‌های، h ارتفاع پالس و J تابع بسل، P دامنه موج دندانه‌های، Q دامنه موج مرتع و q فرکانس موج مرجع است. اگر طیف هارمونیکی شکل موج مدوله‌نشده یعنی قسمت نقطه‌چین در شکل ۳a از طیف هارمونیکی شکل موج مدوله‌شده یعنی رابطه (۲۰) کم گردد تأثیرات هارمونیکی ناشی از مدولاسیون به دست خواهد آمد. بسط فوریه شکل موج مدوله‌نشده به صورت زیر است [۱۹]:

$$F_s(t) = \frac{h}{2} + \frac{h}{\pi} \sum_{m=1}^{\infty} [(-1)^m - 1] \frac{\sin(m \omega_0 t)}{m} \quad (۲۱)$$

درنتیجه تأثیرات مدولاسیون بر روی طیف هارمونیکی به صورت زیر است:

$$\begin{aligned} F_1(t) = & \frac{hb}{2\pi} \cos(k \omega_0 t + \delta_k) \\ & + \frac{h}{\pi} \sum_{m=1}^{\infty} [(-1)^m - J_0(mb)] \frac{\sin(m \omega_0 t)}{m} \\ & - \frac{h}{\pi} \sum_{m=1}^{\infty} \sum_{n=1}^{\infty} \frac{J_n(mb)}{m} [\sin((m+nk)\omega_0 t + n\delta_k \\ & - \frac{n\pi}{2}) + \sin((m-nk)\omega_0 t - n\delta_k - \frac{n\pi}{2})] \end{aligned} \quad (۲۲)$$

با توجه به شکل ۳b دیده می‌شود که هر کدام از پالس‌ها در این شکل مشابه شکل موج شوارتز است. درنتیجه برای هر پالس رابطه (۲۳) را می‌توانیم به صورت زیر بنویسیم:

$$\begin{aligned} F_i(t) = & \frac{h_i b}{2\pi} \cos(k \omega_0 t + \delta_k) \\ & + \frac{h_i}{\pi} \sum_{m=1}^{\infty} [1 - J_0(mb)] \frac{\sin(m \omega_0(t - T_i))}{m} \\ & - \frac{h_i}{\pi} \sum_{m=1}^{\infty} \sum_{n=1}^{\infty} \frac{J_n(mb)}{m} [\sin(m \omega_0(t - T_i)) + \\ & nk \omega_0 t + n\delta_k - \frac{n\pi}{2}] \\ & + \sin(m \omega_0(t - T_i) - nk \omega_0 t - n\delta_k - \frac{n\pi}{2}) \end{aligned} \quad (۲۳)$$

در حالت متعادل برای سلول اول روابط (۲۴) و (۲۵) را خواهیم داشت.

$$h_1 = +1, h_2 = +1, h_3 = -1, h_4 = -1 \quad (۲۴)$$

$$T_1 = \frac{\alpha_1}{\omega_0}, T_2 = \frac{\pi - \alpha_1}{\omega_0}, T_3 = \frac{\pi + \alpha_1}{\omega_0}, T_4 = \frac{2\pi - \alpha_1}{\omega_0} \quad (۲۵)$$

با جایگذاری رابطه (۳۳) در رابطه (۲۶)، $F_1(t)$ به صورت زیر بدست می‌آید:

$$\begin{aligned} F_a(t) &= F_{M1}(t) + F_{M2}(t) = \\ &V_{dc}\left(\frac{2}{\pi} \sum_{m=1}^{\infty} ((-1)^m - 1) \frac{\sin(m\omega_0 t)}{m} + \right. \\ &\left. \frac{2}{\pi} \sum_{m=1}^{\infty} \left[-\frac{J_0(mb)}{m} \sin(m\omega_0(t - \frac{\pi}{2\alpha_0})) \right. \right. \\ &\left. \left. \cos(m\omega_0(\frac{\pi}{2\alpha_0} - \frac{\alpha'_1}{\omega_0})) - \right. \right. \\ &\left. (\sin(m\omega_0(t - \frac{3\pi}{2\alpha_0})) \cos(m\omega_0(\frac{\pi}{2\alpha_0} - \frac{\alpha'_1}{\omega_0})) \right] \\ &- \frac{2}{\pi} \sum_{m=1}^{\infty} \sum_{n=1}^{\infty} \frac{J_n(mb)}{m} \cos(nk\omega_0 t + n\delta_k) \\ &\left. [\sin(m\omega_0(t - \frac{\alpha'_1 + \alpha'_2}{2\alpha_0}) - \frac{n\pi}{2}) \cos(\frac{m(\alpha'_2 - \alpha'_1)}{2}) \right. \\ &+ \sin(m\omega_0(t - \frac{2\pi - \alpha'_1 - \alpha'_2}{2\alpha_0}) - \frac{n\pi}{2}) \cos(\frac{m(\alpha'_1 - \alpha'_2)}{2}) \\ &- \sin(m\omega_0(t - \frac{2\pi + \alpha'_1 + \alpha'_2}{2\alpha_0}) - \frac{n\pi}{2}) \cos(\frac{m(\alpha'_2 - \alpha'_1)}{2}) \\ &- \sin(m\omega_0(t - \frac{4\pi - \alpha'_1 - \alpha'_2}{2\alpha_0}) - \frac{n\pi}{2})] \cos(\frac{m(\alpha'_1 - \alpha'_2)}{2}) \end{aligned} \quad (34)$$

از آنجایی که $F_2(t)$ مربوط به سلول دوم است بدون تغییر باقی ماند و بسط فوريه نهایي به صورت رابطه (۳۴) به دست می‌آيد.

۳-۳- عدم تقارن در دو کلید از دو سلول فاز A

در این قسمت S_1 از سلول اول فاز A دارای تأخیر بوده و به جای α_1 در α'_1 روشن می‌گردد و کلید S_2 از سلول دوم از فاز A به جای α_2 در α'_2 روشن می‌شود. در این حالت هردوی $F_1(t)$ و $F_2(t)$ تغییر خواهد کرد. $F_1(t)$ مانند رابطه (۳۲) خواهد بود و $F_2(t)$ به صورت رابطه (۳۵) خواهد بود. با جایگذاری این دو رابطه در رابطه (۳۰) بسط فوريه شکل موج نهایي محاسبه می‌گردد. اين رابطه مشابه رابطه (۳۲) با تغييرات متضاظر α_1 و α_2 خواهد بود.

$$\begin{aligned} F_2(t) &= -\frac{1}{\pi} \sum_{m=1}^{\infty} \frac{2J_0(mb)}{m} \left[\sin(m\omega_0(t - \frac{\pi}{2\alpha_0})) \right. \\ &\left. \cos(m\omega_0(\frac{\pi}{2\alpha_0} - \frac{\alpha'_2}{\omega_0})) - \right. \\ &\left. (\sin(m\omega_0(t - \frac{3\pi}{2\alpha_0})) \cos(m\omega_0(\frac{\pi}{2\alpha_0} - \frac{\alpha'_2}{\omega_0})) \right] \\ &- \frac{1}{\pi} \sum_{m=1}^{\infty} \sum_{n=1}^{\infty} \frac{J_n(mb)}{m} \cos(nk\omega_0 t + n\delta_k) \\ &\left. [\sin(m\omega_0(t - \frac{\alpha'_1}{\omega_0}) - \frac{n\pi}{2}) \right. \\ &+ \sin(m\omega_0(t - \frac{\pi - \alpha'_2}{\omega_0}) - \frac{n\pi}{2}) \\ &- \sin(m\omega_0(t - \frac{\pi + \alpha'_2}{\omega_0}) - \frac{n\pi}{2}) \\ &- \sin(m\omega_0(t - \frac{2\pi - \alpha'_2}{\omega_0}) - \frac{n\pi}{2})] \end{aligned} \quad (35)$$

۳- بررسی عدم تقارن درتابع کلیدزنی

در این قسمت تأثیر عدم تعادل در کلیدزنی بر روی هارمونیک‌های ولتاژ خروجی با توسعه روابط قسمت قبل به دست آمده است. روابط به دست آمده برای حالت‌های مختلف عدم تعادل بررسی شده و تغییرات لازم اعمال گردیده است.

۳-۱- عدم تقارن در یک کلید از یک سلول فاز

در رابطه (۲۵) تا T_4 در حالت متقاضی در نظر گرفته شده است. در این قسمت فرض می‌شود که کلید S_1 از سلول اول فاز A به جای زاویه α_1 در زاویه‌ای مانند α'_1 روشن می‌گردد؛ بنابراین رابطه (۲۵) به صورت زیر تبدیل خواهد شد:

$$T_1 = \frac{\alpha'_1}{\omega_0}, T_2 = \frac{\pi - \alpha'_1}{\omega_0}, T_3 = \frac{\pi + \alpha'_1}{\omega_0}, T_4 = \frac{2\pi - \alpha'_1}{\omega_0} \quad (31)$$

با جایگذاری رابطه (۳۱) در رابطه (۲۶) $F_1(t)$ محاسبه می‌شود. توجه کنید که در این حالت $F_2(t)$ بدون تغییر باقی می‌ماند.

$$\begin{aligned} F_a(t) &= F_{M1}(t) + F_{M2}(t) = \\ &V_{dc}\left(\frac{2}{\pi} \sum_{m=1}^{\infty} ((-1)^m - 1) \frac{\sin(m\omega_0 t)}{m} + \right. \\ &\left. \frac{2}{\pi} \sum_{m=1}^{\infty} \left[-\frac{J_0(mb)}{m} \sin(m\omega_0(t - \frac{\pi}{2\alpha_0})) \right. \right. \\ &\left. \left. \cos(m\omega_0(\frac{\pi}{2\alpha_0} - \frac{\alpha'_1}{\omega_0})) - \right. \right. \\ &\left. (\sin(m\omega_0(t - \frac{3\pi}{2\alpha_0})) \cos(m\omega_0(\frac{\pi}{2\alpha_0} - \frac{\alpha'_1}{\omega_0})) \right] \\ &- \frac{2}{\pi} \sum_{m=1}^{\infty} \sum_{n=1}^{\infty} \frac{J_n(mb)}{m} \cos(nk\omega_0 t + n\delta_k) \\ &\left. [\sin(m\omega_0(t - \frac{\alpha'_1 + \alpha'_2}{2\alpha_0}) - \frac{n\pi}{2}) \cos(\frac{m(\alpha'_2 - \alpha'_1)}{2}) \right. \\ &+ \sin(m\omega_0(t - \frac{2\pi - \alpha'_1 - \alpha'_2}{2\alpha_0}) - \frac{n\pi}{2}) \cos(\frac{m(\alpha'_1 - \alpha'_2)}{2}) \\ &- \sin(m\omega_0(t - \frac{2\pi + \alpha'_1 + \alpha'_2}{2\alpha_0}) - \frac{n\pi}{2}) \cos(\frac{m(\alpha'_2 - \alpha'_1)}{2}) \\ &- \sin(m\omega_0(t - \frac{4\pi - \alpha'_1 - \alpha'_2}{2\alpha_0}) - \frac{n\pi}{2})] \cos(\frac{m(\alpha'_1 - \alpha'_2)}{2}) \end{aligned} \quad (32)$$

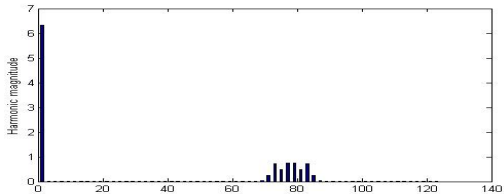
با جایگذاری (t) و $F_1(t)$ روابط (۳۲) برای حالت نامتقاضی اول با همان روش قسمت قبل محاسبه می‌گردد.

۲-۳- عدم تقارن در دو کلید از یک سلول فاز A

در این حالت فرض می‌شود که کلیدهای S_1 و S_2 از سلول اول فاز A به جای α_1 در α'_1 و α'_{11} روشن می‌شوند. رابطه (۲۵) به صورت زیر خواهد بود:

$$T_1 = \frac{\alpha'_1}{\omega_0}, T_2 = \frac{\pi - \alpha'_1}{\omega_0}, T_3 = \frac{\pi + \alpha'_{11}}{\omega_0}, T_4 = \frac{2\pi - \alpha'_{11}}{\omega_0} \quad (33)$$

است درنتیجه هارمونیک‌های غالب در اطراف فرکانس $4f_c$ پراکنده می‌باشند. از آنجایی که عبارات تحلیلی در PSCAD قابل محاسبه نمی‌باشند درنتیجه از نرم‌افزار MATLAB برای این محاسبات استفاده شده است. هارمونیک‌های ولتاژ خروجی اینورتر چندسطحی با استفاده از رابطه (۳۰) محاسبه گردیده است. تمام پارامترهای مدار مشابه حالت قبل در نظر گرفته شده است. نتایج در شکل ۷ نشان داده شده است. همان‌طور که در این شکل دیده می‌شود حذف هارمونیک‌ها تا هارمونیک‌های اطراف فرکانس $4f_c$ یعنی ضریب $12N$ فرکانس حامل اتفاق افتاده است.



شکل ۷: طیف هارمونیکی ولتاژ خروجی اینورتر پنج‌سطحی زنجیره‌ای با روابط تحلیلی

هارمونیک‌های غالب در شکل ۷ برای بررسی بهتر در جدول ۱ آورده شده‌اند.

جدول ۱: هارمونیک‌های اینورتر پنج‌سطحی زنجیره‌ای در حالت متقارن

دامنه هارمونیک	فرکانس هارمونیک	مرتبه هارمونیک
۷۳	$4f_c - 7f_0$	۰/۲۲
۷۵	$4f_c - 5f_0$	۰/۷۴
۷۷	$4f_c - 3f_0$	۰/۴۸
۷۹	$4f_c - f_0$	۰/۷۴
۸۱	$4f_c + f_0$	۰/۷۶
۸۳	$4f_c + 3f_0$	۰/۴۸
۸۵	$4f_c + 5f_0$	۰/۷۵
۸۷	$4f_c + 7f_0$	۰/۲۵

هارمونیک‌های غالب در فرکانس‌های $4f_c \pm f_0$, $4f_c \pm 3f_0$, $4f_c \pm 5f_0$, $4f_c \pm 7f_0$ در شکل ۷ دیده می‌شوند. هارمونیک‌های فرکانس‌های $4f_c \pm 2f_0$, $4f_c \pm 4f_0$, $4f_c \pm 6f_0$, $4f_c \pm 8f_0$ نتایج به دست آمده با نتایج مرجع [۲۰] نیز مقایسه گردیده است. در این مرجع رابطه هارمونیک‌های ولتاژ خروجی به صورت (۳۶) است که هارمونیک‌های به دست آمده با نتایج شکل ۷ مطابقت دارد.

$$V_{pn}(t) = V_d [2MN \cos(\omega_f t) + \frac{4}{\pi} \sum_{m=1}^{\infty} \sum_{n=-\infty, n \neq 0}^{\infty} \frac{1}{m} \cos((Nm + n + 1)\pi)] \quad (36)$$

$$J_{2n-1}(2Nm \frac{\pi}{2} M) \cos(2Nm \omega_f t + (2n - 1)\omega_f t))$$

در مرجع [۲۰] هارمونیک‌ها فقط برای حالت متقارن محاسبه شده است. در ادامه حالت‌های نامتقارن را بررسی خواهد شد.

۴-۳- عدم تقارن در دو کلید از یک سلول فاز A و B

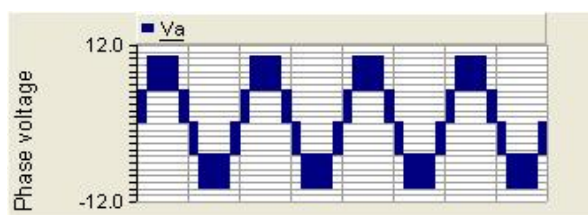
در این قسمت S_1 از سلول اول فاز A به جای α_1 در α'_1 روشن می‌گردد و کلید S_{11} از سلول اول از فاز B به جای α_{12} در α'_{12} روشن می‌گردد. هردوی این تغییرات در (t) فاز A و B اعمال شده و تغییرات نهایی در ولتاژ خط دیده می‌شود.

۴- نتایج تحلیلی و شبیه‌سازی

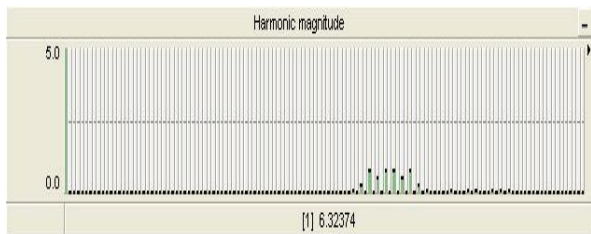
صحت روابط تحلیلی به دست آمده با استفاده از نرم‌افزارهای PSCAD و MATLAB برای یک اینورتر پنج‌سطحی زنجیره‌ای بررسی گردیده است. نتایج شبیه‌سازی با استفاده از نرم‌افزار PSCAD به دست آمده و با نتایج تحلیلی به دست آمده مقایسه گردیده است. در ابتدا هارمونیک‌های ولتاژ خروجی برای اینورتر متقارن به دست آورده شده و سپس نتایج با حالت‌های نامتقارن مقایسه گردیده است.

۴-۱- بررسی هارمونیک‌های خروجی در حالت متقارن

اینورتر پنج‌سطحی زنجیره‌ای با دو سلول در هر فاز در نظر گرفته شده است ($N=2$). روش مدولاسیون Phase shifted SPWM برای کلیدزنی استفاده شده است. شیفت فاز برابر 90° درجه است، $V_d = 5V$ و $M = 0.9$ در $f = 50$ Hz و فرکانس موج مرجع برابر با 1000 Hz است. ولتاژ فاز خروجی در شکل ۵ نشان داده شده است. در این شکل ۱۲۷ هارمونیک آورده شده است.



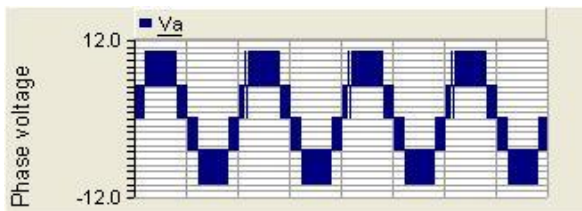
شکل ۵: ولتاژ فاز خروجی اینورتر پنج‌سطحی زنجیره‌ای



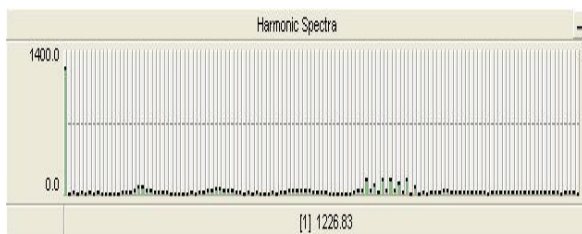
شکل ۶: طیف هارمونیکی ولتاژ خروجی اینورتر پنج‌سطحی زنجیره‌ای (۱۲۷ تا ۱ هارمونیک‌های)

همان‌طور که در شکل‌ها دیده می‌شود هارمونیک‌های غالب در اطراف هارمونیک 180 Hz پراکنده می‌باشند. همچنین هارمونیک‌های زوج صفر بوده و فقط هارمونیک‌های فرد موجود می‌باشند. از آنجایی که فرکانس موج مرجع برابر با 50 Hz و فرکانس موج حامل برابر با 1000 Hz

$t=0.0001s$ باشد شکل موج ولتاژ خروجی و طیف هارمونیکی آن در شکل‌های ۱۱ و ۱۲ نشان داده شده است.

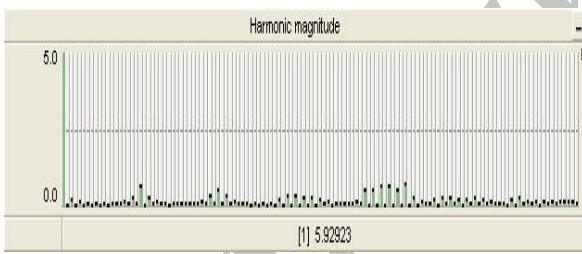


شکل ۱۱: ولتاژ فاز خروجی اینورتر پنج‌سطحی زنجیره‌ای با تأخیر در S_2

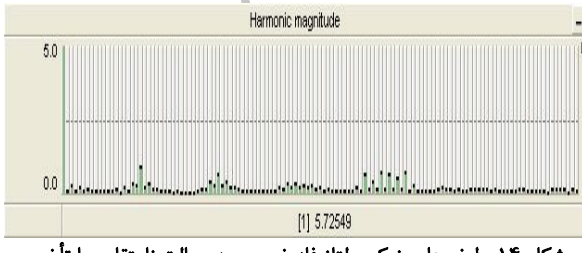


شکل ۱۲: طیف هارمونیکی ولتاژ فاز خروجی اینورتر پنج‌سطحی زنجیره‌ای با تأخیر در S_2

این تشابه به علت تقارنی است که در مدار اینورتر وجود دارد. در این قسمت برای حالت ب فرض می‌شود که کلیدهای S_1 و S_2 از سلوول اول فاز A دارای تأخیری بهاندازه $t=0.0001s$ می‌باشند. طیف فاز خروجی ولتاژ در شکل ۱۳ نشان داده شده است. اگر مقدار تأخیر در دو کلید متفاوت باشد یعنی تأخیر کلید اول برابر $t_1=0.0001s$ و تأخیر کلید دوم $t_2=0.0002s$ باشد نتایج به صورت شکل ۱۴ خواهد بود.



شکل ۱۳: طیف هارمونیکی ولتاژ فاز خروجی در حالت نامتقارن با تأخیر بکسان در S_1 و S_2

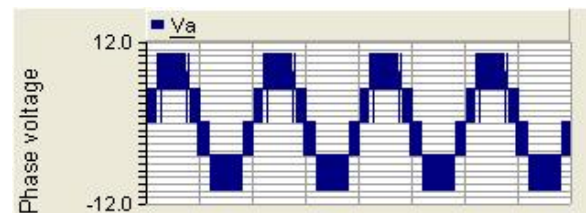


شکل ۱۴: طیف هارمونیکی ولتاژ فاز خروجی در حالت نامتقارن با تأخیر متفاوت در S_1 و S_2

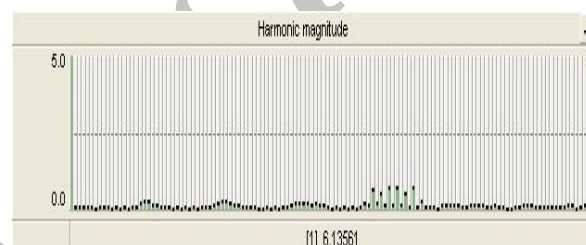
مقدار هارمونیک‌ها در این قسمت نسبت به حالت تأخیر در یک کلید افزایش یافته است. بهخصوص اگر مقدار تأخیر در دو کلید بکسان نباشد این افزایش بیشتر خواهد بود. برای حالت ج اگر کلیدهای S_1 و S_2 از دو

۴-۲-۴- بررسی هارمونیک‌های خروجی در حالت نامتقارن با شبیه‌سازی

در ابتدا برای حالت الف فرض می‌شود که کلید S_1 از سلوول اول فاز A دارای تأخیری برابر با $t=0.0001s$ در مقایسه با سایر کلیدها است. سایر پارامترهای مدار مشابه حالت متقاض است. ابتدا نتایج شبیه‌سازی ارائه می‌گردد. ولتاژ خروجی در شکل ۸ و طیف هارمونیکی آن در شکل ۹ نشان داده شده است.

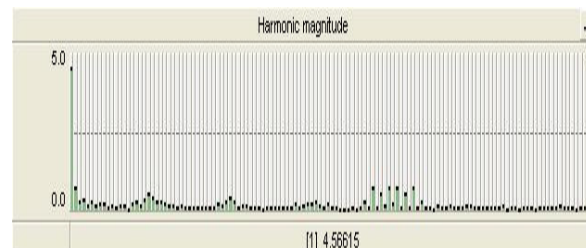


شکل ۸: ولتاژ فاز خروجی اینورتر پنج‌سطحی کاسکید در حالت نامتقارن



شکل ۹: طیف هارمونیکی ولتاژ خروجی اینورتر پنج‌سطحی زنجیره‌ای در حالت نامتقارن

همان‌گونه که از شکل ۹ مشخص است به ازای عدم تقارن کوچک در کلیدزنی افزایش قابل توجهی در هارمونیک‌های خروجی به وجود آمده است. هارمونیک‌های زوج در طیف هارمونیکی پدیدار گشته‌اند. همچنین هارمونیک‌ها به جای ضرایب فرکانس f_n در ضرایب فرکانس $f_n/2$ ظاهر شده‌اند. اگر تأخیر در کلیدزنی به مقدار ۰.۰۰۰۵s می‌باشد نتایج در شکل ۱۰ نشان داده شده است. افزایش قابل توجهی در هارمونیک‌ها به خصوص هارمونیک‌های مرتبه پایین رخ داده است.



شکل ۱۰: طیف هارمونیکی ولتاژ خروجی اینورتر پنج‌سطحی کاسکید در $t=0.0005s$ در حالت نامتقارن با

اگر تأخیر در کلیدزنی به جای S_1 در سایر کلیدهای فاز A انفاق بیفتند هارمونیک‌های ایجادشده تفاوت چندانی نخواهند داشت. به عنوان مثال اگر کلید S_2 از سلوول اول فاز A دارای تأخیری برابر با

با توجه به روابط (۲۶) و (۳۲) دیده می‌شود که در حالت نامتقارن توابع \sin می‌تواند با استفاده از روابط مثلثاتی به رابطه (۳۶) ساده گردد درنتیجه تعداد زیادی از هارمونیک‌ها در این حالت حذف می‌گردد؛ اما در حالت نامتقارن α'_1 از α'_1 متفاوت است درنتیجه توابع سینوسی نمی‌توانند باهم ساده شوند و هارمونیک‌ها باقی می‌مانند. به عبارت دیگر زمانی که کلید S_1 ساده شوند و هارمونیک‌ها باقی می‌مانند. نسبت به سایر کلیدها دارای تأخیر است ضربی $2N$ در عبارت $\cos(2Nm\omega_c t + (2n - 1)\omega_0 t)$ در رابطه (۳۶) به علت به هم خوردن تعادل حذف می‌گردد و هارمونیک‌ها به جای ضرایب $4f_c$ در ضرایب f_c ظاهر می‌گردند. برای بررسی بهتر و مقایسه با حالت نامتقارن هارمونیک‌های با دامنه مؤلفه اصلی در جدول ۲ آورده شده‌اند.

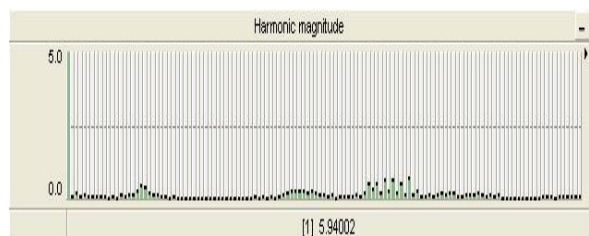
مقایسه این جدول با جدول ۱ دید کمی از افزایش هارمونیک‌ها به دست می‌دهد. اگر تأخیر در کلیدزنی به جای کلید S_1 در سایر کلیدهای فاز A اتفاق بیفتد هارمونیک‌های خروجی مشابه شکل ۱۷ خواهند بود. دلیل این امر تقارنی است که در مدار وجود دارد و در رابطه (۲۶) نیز دیده می‌شود.

در حالت ب کلیدهای S_1 و S_2 از سلول اول فاز A دارای تأخیری به اندازه $1s = 1000000$ می‌باشند. طیف هارمونیکی ولتاژ خروجی از رابطه (۳۴) به صورت شکل ۱۸ خواهد بود.

جدول ۲: هارمونیک‌های غالب اینورتر زنجیره‌ای پنج‌سطحی در حالت نامتقارن

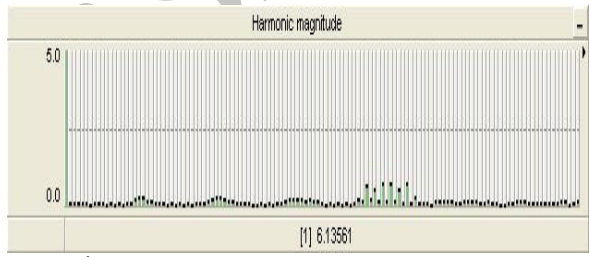
فرکانس هارمونیک	مرتبه هارمونیک	دامنه هارمونیک
f_c در اطراف	$f_c - 2f_0$	۱۸
	$f_c - f_0$	۱۹
	f_c	۲۰
	$f_c + f_0$	۲۱
$2f_c$ در اطراف	$2f_c - 3f_0$	۳۷
	$2f_c - 2f_0$	۳۸
	$2f_c - f_0$	۳۹
	$2f_c$	۴۰
	$2f_c + f_0$	۴۱
	$2f_c + 2f_0$	۴۲
$3f_c$ در اطراف	$3f_c - 4f_0$	۵۶
	$3f_c - 3f_0$	۵۷
	$3f_c - 2f_0$	۵۸
	$3f_c - f_0$	۵۹
	$3f_c$	۶۰
	$3f_c + f_0$	۶۱
	$3f_c + 2f_0$	۶۲
$4f_c$ در اطراف	$4f_c - 7f_0$	۷۳
	$4f_c - 5f_0$	۷۵
	$4f_c - 3f_0$	۷۷
	$4f_c - f_0$	۷۹
	$4f_c$	۸۰
	$4f_c + f_0$	۸۱
	$4f_c + 3f_0$	۸۳
	$4f_c + 5f_0$	۸۵
	$4f_c + 7f_0$	۸۷

سلول از فاز A دارای تأخیری به اندازه $1s = 1000000$ باشد طیف هارمونیکی ولتاژ در شکل ۱۵ نشان داده است.



شکل ۱۵: طیف هارمونیکی ولتاژ فاز خروجی در حالت نامتقارن با تأخیر در s_1 و s_{11}

در این حالت هارمونیک مرتبه ۴۰ و هارمونیک‌های اطراف آن حذف شده است و هارمونیک‌های موجود در اطراف هارمونیک‌های مرتبه ۲۰، ۴۰ و ۸۰ پراکنده می‌باشند. برای حالت د کلیدهای S_{11} و $S_{11} = 1000000$ از فاز A و B دارای تأخیری به اندازه $1s = 1000000$ می‌باشند. طیف هارمونیکی در شکل ۱۶ نشان داده است. هارمونیک‌ها در اطراف ضرایب فرکانس f_c می‌باشند.

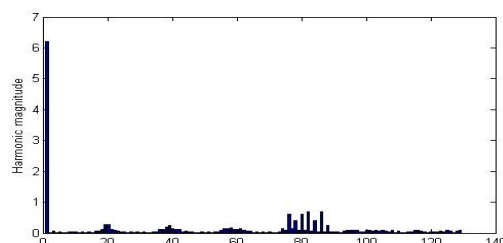


شکل ۱۶: طیف هارمونیکی ولتاژ فاز خروجی در حالت نامتقارن با تأخیر در s_1 و s_{11}

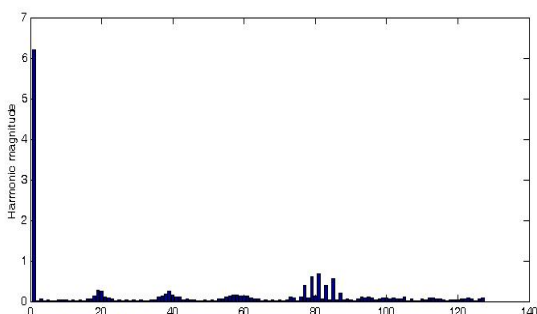
در این حالت هارمونیک‌های ولتاژ فاز مشابه حالت اول یعنی تأخیر در یک کلید از فاز A می‌باشند ولی هارمونیک‌های ولتاژ خط متفاوت خواهند بود.

۴-۳-۴- بررسی هارمونیک‌ها در حالت نامتقارن با روابط تحلیلی

برای به دست آوردن نتایج تحلیلی پارامترهای مدار مشابه پارامترهای حالت قبل در نظر گرفته شده است و از نرم‌افزار MATLAB برای به دست آوردن نتایج استفاده گردیده است. برای حالت الف یعنی تأخیر در کلید S_1 از سلول اول فاز A برابر با $1s = 1000000$ نتایج تحلیلی با استفاده از رابطه (۳۲) به صورت شکل ۱۷ به دست آمده است.



شکل ۱۷: طیف هارمونیکی ولتاژ فاز خروجی در حالت نامتقارن با تأخیر در s_1 به صورت تحلیلی



شکل ۲۰: طیف هارمونیکی ولتاژ فاز خروجی در حالت نامتقارن با تأخیر در S_1 و S_{11} به صورت تحلیلی

باید توجه گردد که در این حالت هارمونیک‌های ولتاژ فاز مشابه حالت اول یعنی تأخیر در یک کلید از فاز است اما هارمونیک‌های ولتاژ خط متفاوت خواهند بود.

THD ولتاژ خروجی برای حالت‌های بررسی شده در بالا در جدول ۳ آورده شده است. با مقایسه مقادیر THD دید کمی در مورد هارمونیک‌های اضافی ایجاد شده به دست می‌آید.

جدول ۳: THD ولتاژ خروجی برای حالت‌های متعادل و نامتعادل

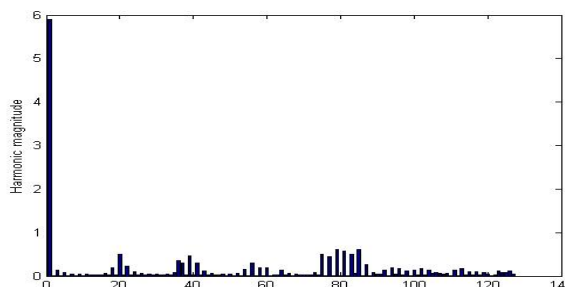
THD	THD ولتاژ خروجی					
	عدم تعادل S_{11}, S_1	عدم تعادل S_1, S_5	عدم تعادل S_1, S_2	عدم تعادل S_1	عدم تعادل S_5	حالات متعادل
	۳۳/۶۵	۳۰/۱۲	۳۲/۲۴	۳۳/۵۲	۱۸/۲۳	

مقادیر THD در حالات مختلف نشان‌دهنده تأثیر قابل توجه عدم تقارن در هارمونیک‌های خروجی است.

۴-۴- نتایج عملی برای بررسی هارمونیک‌های خروجی اینورترها برای تست عملی یک اینورتر پنج سطحی زنجیره‌ای ساخته شده که در شکل ۲۱ نشان داده شده است. کلیدهای نیمه‌هادی که برای ساخت اینورتر استفاده شده است IRF-740 MOSFETs است. اینورتر با کنترل ATMEGA32A AVR در شکل ۲۲ و طیف هارمونیکی در شکل ۲۳ نشان داده شده است.

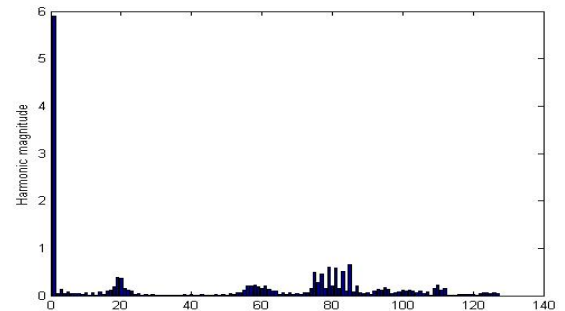


شکل ۲۱: مدار عملی اینورتر پنج سطحی زنجیره‌ای



شکل ۱۸: طیف هارمونیکی ولتاژ فاز خروجی در حالت نامتقارن با تأخیر در S_1 و S_2 به صورت تحلیلی

در این حالت مشابه حالت الف ضریب $2N$ از عبارت $\cos(2Nm\omega_c t + (2n - 1)\omega_0 t)$ حذف می‌گردد؛ بنابراین هارمونیک‌ها به جای ضرایب $4fc$ در ضرایب f_c ظاهر می‌گردند. اگر به جای S_1 و S_2 کلیدهای S_1 و S_3 از سلول اول فاز A دارای تأخیر باشد به علت تقارن در راسته، هارمونیک‌های اضافی تولید شده مشابه خواهند بود. هر قدر اختلاف تأخیر در S_1 و S_2 بالاتر باشد مقدار هارمونیک‌ها بیشتر خواهد شد که از راسته (۳۴) مشخص است. در حالت ج کلیدهای S_1 و S_5 از سلول اول فاز A دارای تأخیری بهاندازه $t = 0/0001s$ می‌باشند. با استفاده از روابط قسمت (۳-۳) هارمونیک‌های ولتاژ خروجی در این حالت به صورت شکل ۱۹ خواهد بود.



شکل ۱۹: طیف هارمونیکی ولتاژ فاز خروجی در حالت نامتقارن با تأخیر در S_1 و S_5 به صورت تحلیلی

در این حالت به علت اینکه S_1 و S_5 از دو سلول مختلف فاز دارای تأخیر یکسان می‌باشند هارمونیک مرتبه ۴۰ و هارمونیک‌های اطراف آن حذف شده است. اگر کلید S_1 دارای مقدار تأخیر از S_5 باشد این هارمونیک‌ها حذف نخواهند گردید. در حالت د کلیدهای S_1 و S_{11} از سلول اول فاز A دارای تأخیری بهاندازه $t = 0/0001s$ می‌باشند؛ مانند حالت الف هارمونیک‌ها به جای ضرایب $4fc$ ظاهر می‌گردند. طیف هارمونیکی ولتاژ خروجی در شکل ۲۰ نشان داده شده است.

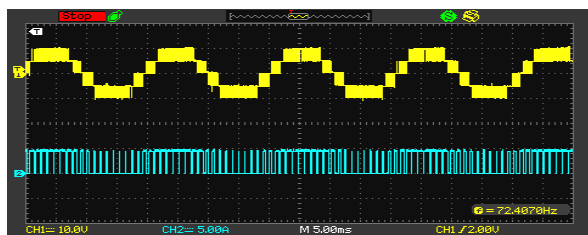
همان‌طور که در نتایج تحلیلی و شبیه‌سازی نشان داده شده است افزایش قابل‌توجهی در هارمونیک‌های مرتبه پایین رخ داده است. هارمونیک‌های مرتبه بالا در فرکانس‌های پایین به خاطر غیر‌ایده‌آل بودن مدار است.

۵- نتیجه‌گیری

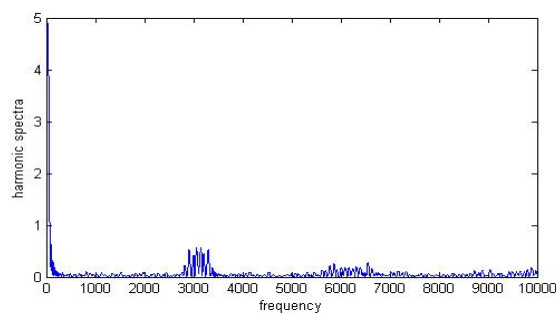
در این مقاله روابط تحلیلی هارمونیک‌های ولتاژ خروجی اینورتر چندسطحی محاسبه گردیده و بررسی شده است. برای این منظور اینورتر مدل شده و سپس تأثیر عدم تقارن در کلیدزنی اینورتر در روابط آورده شده است. تقارن در روابط به دست آمده، به‌طور مستقیم با تقارن در مدار ارتباط دارد. با استفاده از روابط به دست آمده در این مقاله هارمونیک‌های خروجی ولتاژ قابل محاسبه می‌باشند و از این نتایج برای کاربردهای طراحی و بهینه‌سازی از جمله حذف هارمونیک‌های مورد نظر می‌توان استفاده کرد.

مراجع

- [1] S.H. Hosseini, M. Ahmad, and S.G. Zadeh, "Reducing the output harmonics of cascade H-bridge multilevel inverter for electric vehicle applications," *International Conference on Electrical Engineering/ Electronics, Computer, Telecommunications and Information Technology (ECTI-CON)*, pp. 752-755, 2011.
- [2] P. Palanivel, and S.S. Dash, "Analysis of THD and output voltage performance for cascade multilevel inverter using carrier pulse width modulation techniques," *IET Power Electron*, vol. 4, no. 8, pp. 951-958, 2011.
- [3] A. Mohd, E. Ortjohann, N. Hamsic, W. Sinsukthavorn, M. Lingemann, A. Schmelter, and D. Morton, "Control strategy and space vector modulation for three-leg four-wire voltage source inverters under unbalanced load conditions," *IET Power Electron*, vol. 3, no. 3, pp. 323-333, 2010.
- [4] Y. Cho, T.L. Bella, J.S. Lai, and M.K. Senseky, "A carrier-based neutral voltage modulation strategy for multilevel cascade inverters under unbalanced DC sources," *IEEE Transaction on Industrial Electronics*, vol. 61, no. 2, pp. 625-636, 2014.
- [5] N. Farokhnia, "S.H. Fathi, N. Yousefpoor, and M.K. Bakhshizadeh, "Minimization of total harmonic distortion in a cascaded multilevel inverter by regulating voltages of DC sources," *IET Power Electronics*, vol. 5, no. 1, pp. 106-114, 2012.
- [6] E. Babaei, and S.H. Hosseini, "Charge balance control methods for asymmetrical cascade multilevel converters", *International Conference on Electrical Machines and Systems*, Seoul, Korea, pp. 74-79, 2007.
- [7] M.F. Kangarlu, E. Babaei, and M. Sabahi, "Cascade cross-switched multilevel inverter in symmetric and asymmetric conditions," *IET Power Electronics*, vol. 6, no. 6, pp. 1041-1050, 2013.
- [8] S.A. Gonzalez, M.I. Valla, and C.F. Christiansen, "Five-level cascade asymmetric multilevel converter," *IET Power Electronics*, vol. 3, no. 1, pp. 120-128, 2013.
- [9] M.S.A. Dahidah, and V.G. Agelidis, "Selective harmonic elimination PWM control for cascade multilevel voltage source converters: a generalized formula," *IEEE Transaction on Power Electronics*, vol. 23, no. 4, pp. 1620-1630, 2008.

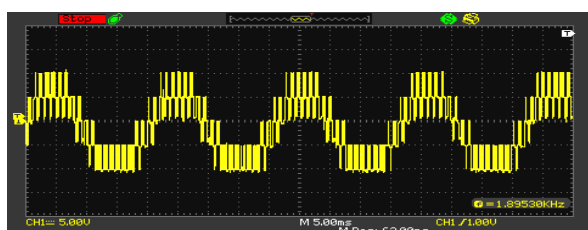


شکل ۲۲: شکل موج ولتاژ خروجی اینورتر پنج‌سطحی زنجیره‌ای

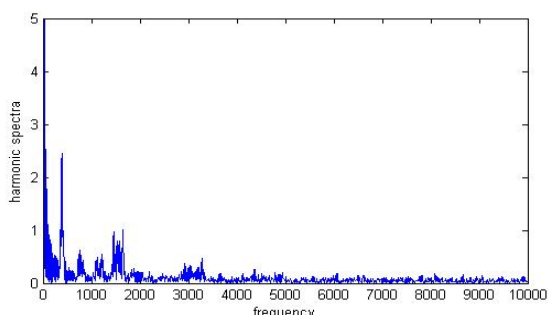


شکل ۲۳: طیف هارمونیکی شکل موج ولتاژ خروجی اینورتر پنج‌سطحی زنجیره‌ای

همان‌طور که در شکل ۲۳ دیده می‌شود نتایج عملی برای حالت متعادل با نتایج شبیه‌سازی و تحلیلی مطابقت دارد. برای بررسی حالت نامتعادلی و تأثیر آن بر روی هارمونیک‌های خروجی، فرض شده است که کلید S1 از یک سلول از فاز A دارای تأخیری برابر با $t=0.0005s$ در مقایسه با سایر کلیدها است. شکل موج ولتاژ خروجی در شکل ۲۴ و طیف هارمونیکی آن در شکل ۲۵ نشان داده شده است.



شکل ۲۴: شکل موج ولتاژ خروجی اینورتر پنج‌سطحی زنجیره‌ای در حالت نامتعادل



شکل ۲۵: طیف هارمونیکی شکل موج ولتاژ خروجی اینورتر پنج‌سطحی زنجیره‌ای در حالت نامتعادل

- voltage source inverters,” *IEEE Transaction on Industry Applications*, vol. IA-21, no. 5, pp. 1234-1241, 1985.
- [16] M. Schwarz, W.R. Bennet, and S. Stein, *Communication Systems and Techniques*, McGraw-Hill Publishing, 1966.
- [17] J. Hamman, and F.S. Van der Merwe, “Voltage harmonic generated by voltage-fed inverters using PWM natural sampling,” *IEEE Trans. Power Electronics*, vol. 3, no. 3, pp. 297-302, 1988.
- [18] S. Sanakhan, E. Babaei, and M.E. Akbari, “Investigation the effect of carrier waveforms arrangement of sin sawtooth PSCPWM on dynamic balance of capacitors voltage of FCMI,” *International Conference on Technical and Physical Problems of Electrical Engineering*, Istanbul, Turkey, pp. 195-200, 2013.
- [19] J. Arrillaga, B.C. Smith, N.R. Watson, and A.R. Wood, *Power system harmonic analysis*, John Wiley & Sons Publishing, 1997.
- [20] D.G. Holmes, and B.P. McGrath, “Opportunities for harmonic cancellation with carrier-based PWM for two-level and multilevel cascade inverters,” *IEEE Transactions on Industry Applications*, vol. 37, no. 2, pp. 574-582, 2001.
- [10] G. Fedele, and D. Frascino, “Spectral analysis of a class of DC-AC PWM inverters by kapteyn series,” *IEEE Transaction on power electronics*, vol. 25, no. 4, pp. 839-849, 2010.
- [11] J. Rodriguez, L.G. Franquelo, S. Kouro, J.I. Leon, R.C. Portillo, A.M. Prats, and M.A. Perez, “Multilevel converters: an enabling technology for high-power applications,” *Proceedings of the IEEE*, vol. 97, no. 11, pp. 1786-1817, 2009.
- [12] B.P. McGrath, and D.G. Holmes, “Multicarrier PWM strategies for multilevel inverters,” *IEEE Transaction on Industry Applications*, vol. 49, no. 4, pp. 858-867, 2002.
- [13] P. Palanivel, and S.S. Dash, “Analysis of THD and output voltage performance for cascaded multilevel inverter using carrier pulse width modulation techniques,” *IET Power Electronics*, vol. 4, no. 8, pp. 951-958, 2011.
- [14] B.K. Lee, and M. Ehsani, “A simplified functional model for 3-phase voltage- source inverter using switching function concept,” *IBM Systems Journal*, vol. 26, no. 3, 1999.
- [15] P.D. Ziogas, E.P. Wiechmann, and V.R. Stefanovic, “A computer –aided analysis and design approach for static